



Laboratorium EMVO Sp. J. Urbański, Pawelak
ul. Jasna 1
00-013 Warszawa

tel. +48 22 780 29 64

e-mail: laboratorium@emvo.pl



AB 1630

Sprawozdanie z pomiarów pól elektromagnetycznych - środowisko nr 67/07/OŚ/2023-P4-W



Nr i nazwa stacji	TOM3304A	
Adres	Tomaszów Mazowiecki, Wierzbowa 136, pow. tomaszowski, woj. łódzkie	
Opracowanie	Justyna Karczmarczyk	Specjalista ds. pomiarów
Autoryzacja	Andrzej Urbański	Kierownik Laboratorium
Podpis		
Data	2023-07-28	

Spis treści

1. Informacje ogólne.....	3
2. Podstawa prawna.	3
3. Opis pomiarów	3
4. Zróżnicowanie dopuszczalne poziomy pól elektromagnetycznych.	5
5. Charakterystyka źródeł PEM.	6
6. Wyniki pomiarów.....	6
7. Stwierdzenie zgodności.....	7
8. Oświadczenie.....	9
9. Spis załączników.	9

1. Informacje ogólne.

Zleceniodawca	P4 sp. z o.o., ul. Wynałazek 1, 02-677 Warszawa osoba udzielająca informacji- Monika Bieroza
Istotne informacje dostarczone przez klienta	komplet informacji niezbędnych do wykonania pomiarów i opracowania sprawozdania
Dane otrzymane od klienta mogące mieć wpływ na ważność wyników	Dane anten sektorowych, dane anten radioliniowych, parametry pracy instalacji, ustawienie pochylenia anten
Prowadzący instalację	P4 sp. z o.o., ul. Wynałazek 1, 02-677 Warszawa
Lokalizacja obiektu	Tomaszów Mazowiecki, Wierzbowa 136, pow. tomaszowski, woj. łódzkie
Miejsce instalacji anten	Komin
Miejsce instalacji urządzeń	Outdoor
Osoby wykonujące pomiar	Marcin Kołodziejczyk, Andrzej Figger
Data wykonania pomiaru	28.07.2023
Temperatura na początku pomiaru [°C]	19,0
Temperatura na koniec pomiaru [°C]	19,0
Warunki atmosferyczne	Brak opadów
Wilgotność na początku pomiaru [%]	70,0
Wilgotność na koniec pomiaru [%]	70,0
Godzina na początku pomiaru	13:03
Godzina na koniec pomiaru	15:00
Inne źródła pól elektromagnetycznych oznaczone na załączniku graficznym	Występują
Parametry pracy instalacji	Tryb eksploatacyjny

2. Podstawa prawna.

2.1 Normy i rozporządzenia:

- Obwieszczenie Ministra Klimatu i Środowiska z dnia 21 listopada 2022 r. w sprawie ogłoszenia jednolitego tekstu rozporządzenia Ministra Klimatu w sprawie sposobów sprawdzania dotrzymania dopuszczalnych poziomów pól elektromagnetycznych w środowisku (Dz.U. 2022 poz. 2630)
- Rozporządzenie Ministra Zdrowia z dnia 17 grudnia 2019 r. w sprawie dopuszczalnych poziomów pól elektromagnetycznych w środowisku (Dz.U. 2019 poz. 2448)
- Obwieszczenie Marszałka Sejmu Rzeczypospolitej Polskiej z dnia 1 grudnia 2022 r. w sprawie ogłoszenia jednolitego tekstu ustawy - Prawo ochrony środowiska (Dz.U. 2022 poz. 2556).

3. Opis pomiarów

Metodologia pomiarowa	Pomiary w oparciu o Rozporządzenie Ministra Klimatu z dnia 17 lutego 2020 r. w sprawie sposobów sprawdzania dotrzymania dopuszczalnych poziomów pól elektromagnetycznych w środowisku (Dz.U. 2022 poz. 2630).
Cel badań	Określenie wartości natężenia pola elektrycznego w miejscach dostępnych dla ludności.
Opis zestawu pomiarowego	Miernik Narda NBM 550, Sonda EF9091, o zakresie pomiarowym 0,7 V/m - 300V/m pracująca w paśmie 0,1 – 90 GHz, świadectwo wydane przez Laboratorium Wzorców i Metrologii Pola Elektromagnetycznego, Instytut Telekomunikacji, Teleinformatyki i Akustyki Politechniki Wrocławskiej. Świadectwo ważne do 10.06.2024r. Miernik Narda NBM 550, Sonda EF9091 pracująca w zakresie temperatury -10°C +50°C oraz wilgotności 5% - 95%. Niepewność rozszerzona 59% przy poziomie ufności 95% z uwzględnieniem współczynnika rozszerzenia k=2.
Wyposażenie pomocnicze	Termohigrometr Termoprodukt, typ: Termik+, Nr. inwentarzowy 43/WL, nr identyfikacyjny 1530619, świadectwo wzorcowania nr 0392/AH/20 z dn. 02.03.2020 r. wydane przez Laboratorium Pomiarowe "MUTECH". Dalmierz laserowy BOSH GLM 40, Nr. inwentarzowy 27/WL, nr seryjny 711425432, Świadectwo wzorcowania L4-L41.4180.141.2018.3061.1 z dnia 12 września 2018 wydane przez Pracownia Długości Samodzielnego Laboratorium Długości w Głównym Urzędzie Miar. GPS Garmin 64s okresowo sprawdzany w punktach osnowy geodezyjnej klasy 3 na podstawie licencji punktu, zgodnie z procedurą sprawdzeń okresowych IS/PO16-11/03.
Pomiary zostały wykonane	<ol style="list-style-type: none">1. na głównych i pomocniczych kierunkach pomiarowych, na kierunkach zbliżonych do azymutów anten oraz w dodatkowych pionach pomiarowych zgodnie z wymaganiami pkt 12, 13, 14 i 19 Rozporządzenia Ministra Klimatu z dnia 17 lutego 2020 r. (Dz.U. 2022 poz. 2630). Wybór i lokalizacja pionów pomiarowych, w tym znajdujących się wewnątrz lokali, zostały ustalone zgodnie z procedurą laboratorium nr PP-7.3/7.4/7.5-11, z uwzględnieniem: rodzaju badanej instalacji (w tym parametrów technicznych instalacji), lokalizacji badanej instalacji, ukształtowania terenu wokół badanej instalacji.2. na obszarze pomiarowym, dla którego, na podstawie uprzednio przeprowadzonych obliczeń stwierdzono w miejscach dostępnych dla ludności występowanie pól elektromagnetycznych o najwyższym poziomie, które pochodzą z badanej instalacji zgodnie z wymaganiami pkt 5 ppkt 2 oraz pkt 13 ppkt 1 Rozporządzenia Ministra Klimatu z dnia 17 lutego 2020 r. w sprawie sposobów sprawdzania dotrzymania dopuszczalnych poziomów pól elektromagnetycznych w środowisku (Dz.U. 2022 poz. 2630). Wyniki obliczeń nie uwzględniały parametrów pracy instalacji innych operatorów występujących na obiekcie bądź w obszarze pomiarowym.3. w miejscach dostępnych dla ludności.4. miejsca niedostępne podczas wykonywania pomiarów wskazane zostały w pkt 6 (tabeli wyniki pomiarów)5. w dodatkowych pionach pomiarowych w lokalach oraz na balkonach i tarasach, na których mogą przebywać ludzie, po poinformowaniu o planowanych pomiarach z minimum 3-dniowym wyprzedzeniem i po

umożliwieniu dostępu do lokalu, balkonu lub tarasu przez jego dysponenta lub bez zachowania terminu wskazanego w pierwszej części zdania za zgodą dysponenta przestrzeni pomiarowej.

Sposób powiadamiania dysponentów

Zgodnie z pkt 14 Rozporządzenia Ministra Klimatu z dnia 17 lutego 2020 r. w sprawie sposobów sprawdzania dotrzymania dopuszczalnych poziomów pól elektromagnetycznych w środowisku (Dz.U. 2022 poz. 2630). poinformowano dysponentów lokali o planowanych pomiarach.
Informacji dokonano między innymi poprzez:
1. bloki mieszkalne – zawiadomienie spółdzielni mieszkaniowej, zarządcy nieruchomości, zarządu wspólnoty, umieszczenie informacji o planowanych pomiarach na tablicach ogłoszeń w klatkach schodowych bloków lub na drzwiach wejściowych,
2. biurowce, budynki użyteczności publicznej itp. - przekazanie zawiadomienia do administracji lub recepcji obiektu,
3. domy jednorodzinne, szeregowce itp.- pozostawienie informacji w skrynkach pocztowych itp. lub przekazanie osobiste.

Warunki pracy urządzeń nadawczych

Tryb pracy eksploatacyjny.

4. Zróżnicowanie dopuszczalne poziomy pól elektromagnetycznych.

Zakresy znajdują się w Dzienniku Ustaw z dnia 17 grudnia 2019 r. przedstawione są w tabeli nr 2 (Dz. U. z 2019r. poz. 2448).

Parametr fizyczny	Składowa elektryczna E (V/m)	Składowa magnetyczna H (A/m)	Gęstość mocy S (W/m ²)
Zakres Częstotliwości pola elektromagnetycznego			
od 400 MHz do 2000 MHz	$1,375 \times f^{0,5}$	$0,0037 \times f^{0,5}$	$f / 200$
od 2 GHz do 300 GHz	61	0,16	10

5. Charakterystyka źródeł PEM.

Zgodnie z informacją otrzymaną od Klienta pomiary zostały wykonane przy ustawieniach pochylenia anten zgodnych z pkt. 13, ppkt 2 Rozporządzenia Ministra Klimatu z dnia 17 lutego 2020 roku.

Tabela 1. Anteny sektorowe – dane otrzymane od klienta

Charakterystyka promieniowania		kierunkowa									
Rzeczywisty czas pracy [h/dobę]		24									
Rodzaj wytwarzanego pola		stacjonarne									
Lp	Wyszczególnienie	sektor 1			sektor 2			sektor 3			
I	Nadajnik stacji bazowej:										
1	Typ / Producent	DBS / SRAN Huawei									
2	Częstotliwość (pasmo) MHz	800	900	2600	2100	1800	800	2100	900	1800	
3	Maksymalna moc nadawana na sektor [dBm]	49,03	46,02	50,79	50,79	50,79	49,03	49,03	46,02	50,79	
II	Obciążenie:										
1	Typ anteny	Huawei A794515R0	Kathrein 80010303	Huawei AMB4520R0			Huawei ADU4518R11	Huawei ADU4518R11		Kathrein 742215	
2	Producent anteny	Huawei	Kathrein	Huawei			Huawei	Huawei		Kathrein	
3	Nazwa anteny	22_V	21_GT	11_DHL N	11_DHL N	11_DHL N	32_V	33_GNT	33_GNT	31_L	
4	Ilość anten	1	1	1			1	1		1	
5	Azymut	20			49			120			
6	Zakres kątów pochylenia anten [°]	0,00-14,00			0,00-10,00			0,00-12,00	2,00-12,00	0,00-12,00	0,00-10,00
7	Wysokość zainst. n.p.t. [m]	54,00			54,00			54,00			
8	EIRP [W]	2141	1166	29798			2955	5518		6608	

Charakterystyka promieniowania		kierunkowa									
Rzeczywisty czas pracy [h/dobę]		24									
Rodzaj wytwarzanego pola		stacjonarne									
Lp	Wyszczególnienie	sektor 4				sektor 5					
I	Nadajnik stacji bazowej:										
1	Typ / Producent	DBS / SRAN Huawei									
2	Częstotliwość (pasmo) MHz	800	2100	900	1800	2600	2100	1800			
3	Maksymalna moc nadawana na sektor [dBm]	49,03	49,03	46,02	50,79	50,79	50,79	50,79			
II	Obciążenie:										
1	Typ anteny	Huawei ADU4518R11		Huawei ADU4518R11		Kathrein 742215	Huawei AMB4520R0				
2	Producent anteny	Huawei		Huawei		Kathrein	Huawei				
3	Nazwa anteny	42_V	43_GNT	43_GNT	41_L	11_DHLN	11_DHLN	11_DHLN			
4	Ilość anten	1	1		1	1					
5	Azymut	270				349					
6	Zakres kątów pochylenia anten [°]	0,00-12,00	2,00-12,00	0,00-12,00	0,00-10,00	0,00-10,00					
7	Wysokość zainst. n.p.t. [m]	54,00				54,00					
8	EIRP [W]	2955	5518		6608	29798					

Tabela 2. Anteny radioliniowe– dane otrzymane od klienta

Charakterystyka promieniowania				kierunkowa			
Rzeczywisty czas pracy [h/dobę]				24			
Rodzaj wytwarzanego pola				stacjonarne			
Lp	Linia radiowa			Antena			
	typ/producent	częstotliwość pracy [GHz]	moc wyjściowa [dBm]	typ/producent	średnica anteny [m]	azymut [°]	wysokość zainstal. [m]
1	OPTIX RTN/HUAWEI	80	18	VHLP2-80/Andrew	0,6	106	56,70
2	OPTIX RTN/HUAWEI	23	18	VHLP2-23/Andrew	0,6	278	55,55
3	OPTIX RTN/HUAWEI	80	18	VHLP2-80/Andrew	0,6	278	56,30

6. Wyniki pomiarów.

Wyniki pomiarów pól elektromagnetycznych dla celów ochrony środowiska przedstawia poniższa tabela. Piony pomiarowe zostały przedstawione w zał. 2.

Nr PP	Pole-E [V/m]	Pole-E, +U [V/m]	Pole-H [A/m]	Pole-H +U [A/m]	Wys. pomiaru [m]	Opis pionu	Uwagi	WM _E	WM _H
1	0,8	1,27	0,002	0,003	0,3-2,0	N:51°31'07,8" E:20°01'04,8"	otoczenie stacji bazowej - 100m wzdłuż gł. osi promieniowania - GKP	0,045	0,046
2	0,9	1,43	0,002	0,004	0,3-2,0	N:51°31'09,3" E:20°01'05,7"	otoczenie stacji bazowej - 150m wzdłuż gł. osi promieniowania - GKP	0,051	0,052
3	0,8	1,27	0,002	0,003	0,3-2,0	N:51°31'10,8" E:20°01'06,3"	otoczenie stacji bazowej - 200m wzdłuż gł. osi promieniowania - GKP	0,045	0,046
4	0,8	1,27	0,002	0,003	0,3-2,0	N:51°31'12,3" E:20°01'07,5"	otoczenie stacji bazowej - 250m wzdłuż gł. osi promieniowania - GKP	0,045	0,046
5	0,8	1,27	0,002	0,003	0,3-2,0	N:51°31'07,0" E:20°01'07,1"	otoczenie stacji bazowej - 100m wzdłuż gł. osi promieniowania - GKP	0,045	0,046
6	0,8	1,27	0,002	0,003	0,3-2,0	N:51°31'08,8" E:20°01'11,2"	otoczenie stacji bazowej - 200m wzdłuż gł. osi promieniowania - GKP	0,045	0,046
7	0,7*	1,27	0,002	0,003	0,3-2,0	N:51°31'10,9" E:20°01'15,1"	otoczenie stacji bazowej - 300m wzdłuż gł. osi promieniowania - GKP	0,045	0,046
8	0,7*	1,27	0,002	0,003	0,3-2,0	N:51°31'13,0" E:20°01'18,9"	otoczenie stacji bazowej - 400m wzdłuż gł. osi promieniowania- GKP	0,045	0,046
9	0,7*	1,27	0,002	0,003	0,3-2,0	N:51°31'15,1" E:20°01'23,0"	otoczenie stacji bazowej - 500m wzdłuż gł. osi promieniowania- GKP	0,045	0,046
10	0,7*	1,27	0,002	0,003	0,3-2,0	N:51°31'15,9" E:20°01'24,4"	otoczenie stacji bazowej - 540m wzdłuż gł. osi promieniowania- GKP	0,045	0,046
11	0,8	1,27	0,002	0,003	0,3-2,0	N:51°31'03,0" E:20°01'07,5"	otoczenie stacji bazowej - 100m wzdłuż gł. osi promieniowania - GKP	0,045	0,046
12	0,7*	1,27	0,002	0,003	0,3-2,0	N:51°31'01,4" E:20°01'12,1"	otoczenie stacji bazowej - 200m wzdłuż gł. osi promieniowania - GKP	0,045	0,046
13	0,7*	1,27	0,002	0,003	0,3-2,0	N:51°30'59,7" E:20°01'16,5"	otoczenie stacji bazowej - 300m wzdłuż gł. osi promieniowania - GKP	0,045	0,046
14	0,7*	1,27	0,002	0,003	0,3-2,0	N:51°30'58,1" E:20°01'21,0"	otoczenie stacji bazowej - 400m wzdłuż gł. osi promieniowania- GKP	0,045	0,046
15	0,7*	1,27	0,002	0,003	0,3-2,0	N:51°30'56,4" E:20°01'25,4"	otoczenie stacji bazowej - 500m wzdłuż gł. osi promieniowania- GKP	0,045	0,046
16	0,9	1,43	0,002	0,004	0,3-2,0	N:51°31'04,7" E:20°01'00,3"	otoczenie stacji bazowej - 50m wzdłuż gł. osi promieniowania - GKP	0,051	0,052
17	0,9	1,43	0,002	0,004	0,3-2,0	N:51°31'04,7" E:20°00'57,8"	otoczenie stacji bazowej - 100m wzdłuż gł. osi promieniowania - GKP	0,051	0,052
18	0,8	1,27	0,002	0,003	0,3-2,0	N:51°31'04,9" E:20°00'52,7"	otoczenie stacji bazowej - 200m wzdłuż gł. osi promieniowania - GKP	0,045	0,046
19	0,7*	1,27	0,002	0,003	0,3-2,0	N:51°31'04,9" E:20°00'47,5"	otoczenie stacji bazowej - 300m wzdłuż gł. osi promieniowania - GKP	0,045	0,046
20	0,7*	1,27	0,002	0,003	0,3-2,0	N:51°31'04,8" E:20°00'42,6"	otoczenie stacji bazowej - 400m wzdłuż gł. osi promieniowania- GKP	0,045	0,046

„Bez pisemnej zgody Laboratorium niniejsze sprawozdanie nie może być powielane inaczej, jak tylko w całości. Ponadto wyniki dotyczą tylko badanych obiektów przywołanych w niniejszym sprawozdaniu z badań”

21	0,8	1,27	0,002	0,003	0,3-2,0	N:51°31'08,0" E:20°01'02,1"	otoczenie stacji bazowej - 100m wzdłuż gł. osi promieniowania - GKP	0,045	0,046
22	0,8	1,27	0,002	0,003	0,3-2,0	N:51°31'11,0" E:20°01'01,4"	otoczenie stacji bazowej - 200m wzdłuż gł. osi promieniowania - GKP	0,045	0,046
23	0,7*	1,27	0,002	0,003	0,3-2,0	N:51°31'12,6" E:20°01'00,8"	otoczenie stacji bazowej - 250m wzdłuż gł. osi promieniowania - GKP	0,045	0,046
24	0,7*	1,27	0,002	0,003	0,3-2,0	N:51°31'15,9" E:20°00'59,9"	otoczenie stacji bazowej - 350m wzdłuż gł. osi promieniowania - GKP	0,045	0,046
25	0,7*	1,27	0,002	0,003	0,3-2,0	N:51°31'19,9" E:20°00'58,9"	otoczenie stacji bazowej - 500m wzdłuż gł. osi promieniowania - GKP	0,045	0,046
26	0,7*	1,27	0,002	0,003	0,3-2,0	N:51°31'03,9" E:20°01'08,1"	otoczenie stacji bazowej - 100m wzdłuż gł. osi promieniowania - GKP	0,045	0,046
27	0,7*	1,27	0,002	0,003	0,3-2,0	N:51°31'03,4" E:20°01'10,6"	otoczenie stacji bazowej - 150m wzdłuż gł. osi promieniowania - GKP	0,045	0,046
28	0,7*	1,27	0,002	0,003	0,3-2,0	N:51°31'05,3" E:20°00'58,0"	otoczenie stacji bazowej - 100m wzdłuż gł. osi promieniowania - GKP	0,045	0,046
29	0,7*	1,27	0,002	0,003	0,3-2,0	N:51°31'05,6" E:20°00'55,2"	otoczenie stacji bazowej - 150m wzdłuż gł. osi promieniowania - GKP	0,045	0,046
30	0,7*	1,27	0,002	0,003	0,3-2,0	N:51°31'07,5" E:20°00'59,9"	otoczenie stacji bazowej -PKP	0,045	0,046
31	0,7*	1,27	0,002	0,003	0,3-2,0	N:51°31'06,5" E:20°01'08,6"	otoczenie stacji bazowej -PKP	0,045	0,046
32	0,7*	1,27	0,002	0,003	0,3-2,0	N:51°31'01,8" E:20°01'05,0"	otoczenie stacji bazowej -PKP	0,045	0,046
A	0,7*	1,27	0,002	0,003	0,3-2,0	N:51°31'21,1" E:20°00'59,7"	Wandy Panfil 3, sklep, pomiar w otworze wejściowym - DPP	0,045	0,046
B	0,8	1,27	0,002	0,003	0,3-2,0	N:51°31'17,9" E:20°00'58,7"	Wandy Panfil 11, piętro 2, pomiar w otworze wejściowym - DPP	0,045	0,046
	0,8	1,27	0,002	0,003	0,3-2,0		Wandy Panfil 11, piętro 3, pomiar w otworze wejściowym - DPP	0,045	0,046
	0,9	1,43	0,002	0,004	0,3-2,0		Wandy Panfil 11, piętro 4, pomiar w otworze wejściowym - DPP	0,051	0,052
C	0,9	1,43	0,002	0,004	0,3-2,0	N:51°31'14,4" E:20°01'00,1"	Sikorskiego 8, piętro 2, pomiar w otworze wejściowym - DPP	0,051	0,052
	1,1	1,75	0,003	0,005	0,3-2,0		Sikorskiego 8, piętro 3, pomiar w otworze wejściowym - DPP	0,062	0,064
	1,2	1,91	0,003	0,005	0,3-2,0		Sikorskiego 8, piętro 4, pomiar w otworze wejściowym - DPP	0,068	0,069
D	1,2	1,91	0,003	0,005	0,3-2,0	N:51°31'06,5" E:20°01'04,4"	Wierzbowa 136, pomieszczenie elektrociepłowni, pomiar w otworze wejściowym - DPP	0,068	0,069
E	1,2	1,91	0,003	0,005	0,3-2,0	N:51°31'14,1" E:20°01'07,8"	Sikorskiego 2, piętro 3, pomiar w otworze wejściowym - DPP	0,068	0,069
	1,3	2,07	0,003	0,005	0,3-2,0		Sikorskiego 2, piętro 4, pomiar w otworze wejściowym - DPP	0,074	0,075
F	1,2	1,91	0,003	0,005	0,3-2,0	N:51°31'12,6" E:20°01'17,3"	Świętego Antoniego 89, piętro 3, pomiar w otworze wejściowym - DPP	0,068	0,069
	1,2	1,91	0,003	0,005	0,3-2,0		Świętego Antoniego 89, piętro 4, pomiar w otworze wejściowym - DPP	0,068	0,069
G	1,1	1,75	0,003	0,005	0,3-2,0	N:51°31'14,7" E:20°01'22,1"	Mazowiecka 2A, piętro 3, pomiar w otworze wejściowym - DPP	0,062	0,064
	1,2	1,91	0,003	0,005	0,3-2,0		Mazowiecka 2A, piętro 4, pomiar w otworze wejściowym - DPP	0,068	0,069
H	0,7*	1,27	0,002	0,003	0,3-2,0	N:51°30'54,9" E:20°01'28,6"	Wodna 34a, parter, pomiar w otworze wejściowym na posesję - DPP	0,045	0,046

Wynik pomiaru pole - E [V/m] - maksymalna wartość chwilowa zmierzona w danym pionie pomiarowym (uśredniona na podstawie punktu 11 załącznika do Rozporządzenia Ministra Klimatu z dnia 17 lutego 2020 r. w sprawie sposobów sprawdzania dotrzymania dopuszczalnych poziomów pól elektromagnetycznych w środowisku (Dz.U. 2022 poz. 2630)). Zgodnie z pkt. 7 załącznika do Rozporządzenia Ministra Klimatu z dnia 17 lutego 2020 r. w sprawie sposobów sprawdzania dotrzymania dopuszczalnych poziomów pól elektromagnetycznych w środowisku (Dz.U. 2022 poz. 2630) nie stosuje się poprawek pomiarowych.

Przyjęto najniższą dopuszczalną wartość składowej elektrycznej pola dla objętego pomiarami zakresu częstotliwości $\min(ME_{gr}) = 28 \text{ V/m}$ oraz składowej magnetycznej $\min(MH_{gr}) = 0,073 \text{ A/m}$.

* - wartość zmierzona poniżej zakresu akredytacji. Do obliczeń przyjęto wartość zgodną z dolną granicą akredytowanego zakresu pomiarowego metody.

GKP - główne kierunki pomiarowe

PKP - pomocnicze kierunki pomiarowe

DPP - dodatkowe punkty pomiarowe

PP - pion pomiarowy

U - niepewność pomiarowa rozszerzona, przy poziomie ufności 95%, z uwzględnieniem współczynnika rozszerzenia $k=2$

WM_E - wartość wskaźnikowa poziomu emisji pól elektromagnetycznych dla miejsc dostępnych dla ludności dla składowej elektrycznej pola

WM_H - wartość wskaźnikowa poziomu emisji pól elektromagnetycznych dla miejsc dostępnych dla ludności dla składowej magnetycznej pola

7. Stwierdzenie zgodności

Na podstawie wytycznych podanych w Rozporządzeniu Ministra Zdrowia z dnia 17 grudnia 2019 r. w sprawie dopuszczalnych poziomów pól elektromagnetycznych w środowisku (Dz.U. 2019 poz. 2448) oraz sposobów sprawdzania dotrzymania tych poziomów zgodnie z Rozporządzeniem Ministra Klimatu z dnia 17 lutego 2020 r. w sprawie sposobów sprawdzania dotrzymania dopuszczalnych poziomów pól elektromagnetycznych w środowisku (Dz.U. 2022 poz. 2630), dotyczących źródła wymagań, które muszą być spełnione, w oparciu o zasadę podejmowania decyzji zgodną z pkt. 26 Rozporządzenia Ministra Klimatu z dnia 17 lutego 2020 r. (Dz.U. 2022 poz. 2630), na podstawie wyników pomiarów pól elektromagnetycznych wykonanych w dniu 28.07.2023 stwierdzono, że wszystkie wyniki przeprowadzonych pomiarów w danym obszarze pomiarowym oraz wyznaczone na tej podstawie wskaźniki WME oraz WMH są mniejsze od wartości dopuszczalnych – zgodnie z przepisami wydanymi na podstawie art. 122 ust. 1 ustawy z dnia 27 kwietnia 2001 r. – Prawo ochrony środowiska – załącznikiem do Rozporządzenia Ministra Klimatu i Środowiska z dnia 17 lutego 2020 r. w sprawie sposobów sprawdzania dotrzymania dopuszczalnych poziomów pól elektromagnetycznych w środowisku (Dz.U. 2022 poz. 2630, pkt 26).

8. Oświadczenie.

Wyniki badania odnoszą się wyłącznie do badanego obiektu.

Bez pisemnej zgody sprawozdanie nie może być powielane inaczej, jak tylko w całości.

Uwagi i zastrzeżenia przyjmowane są w formie pisemnej.

9. Spis załączników.

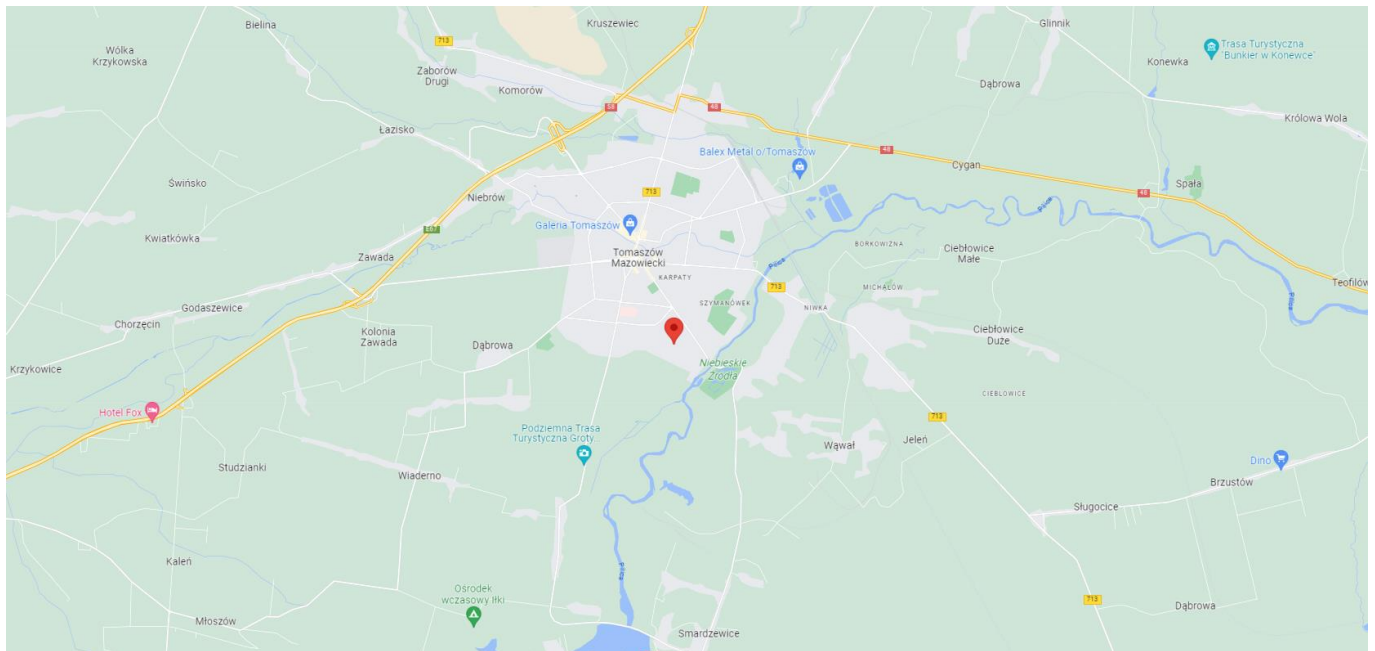
Zał. 1. Lokalizacja obiektu.

Zał. 2. Widok pionów pomiarowych

Zał. 3. Załączniki graficzne

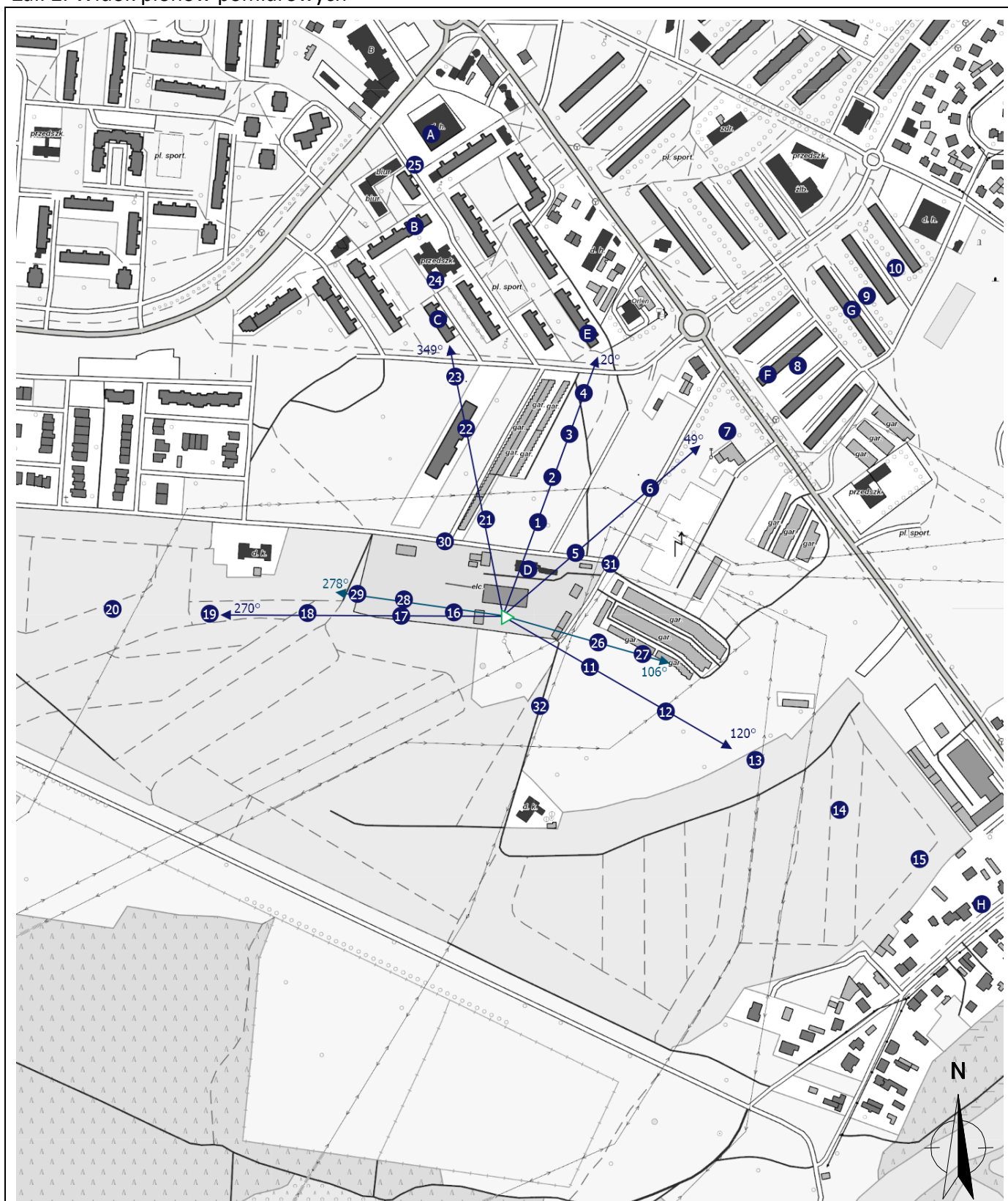
Koniec sprawozdania

Zał. 1. Lokalizacja obiektu




Współrzędne geograficzne	
długość:	20°01'02.90"E
szerokość:	51°31'04.80"N

Zał. 2. Widok pionów pomiarowych




LEGENDA:

 inna instalacja radiokomunikacyjna

 brak dostępu

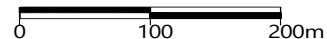
 pion pomiaru

 antena sektorowa

 antena radioliowa

Skala:

1:8300



Załącznik 3. Załączniki graficzne.

